

7 Appendix I

7.1 DNA sequence of scWue-1

Both, the nucleotide and the protein sequence of the single chain Wue-1 domain are shown (underlined). The sequence is flanked by a 5'-*EcoRV* and a 3'-*BspEI* restriction site. Relevant restriction sites are framed and indicated by name. This insert was used as template for Wue-1 amplification by PCR.

<pre> +1 721 TGG AGC TGT ATC ATC CTC TTC TTG GTA GCA ACA GCT ACA GGT GTA CAC TCC +1 PvuII +1 L T Q S P L T L S V T I G Q P A S L S C 781 CTG ACC CAG TCT CCA CTC ACT TTG TCG GTT ACC ATT GGA CAA CCA GCC TCC CTC TCT TGC +1 K S S Q S L L D S D G K T Y L N W L L Q 841 AAG TCA AGT CAG AGC CTC TTA GAT AGT GAT GGA AAG ACA TAT TTG AAT TGG TTG TTA CAG +1 R P G Q S P K R L I S L V S K L D S G V 901 AGG CCA GGC CAG TCT CCA AAG CGC CTA ATC TCT CTG GTG TCT AAA TTG GAC TCT GGA GTC +1 P D R F T G S G S G T D F T L K I S R V 961 CCT GAC AGA TTC ACT GGC AGT GGA TCA GGG ACA GAT TTC ACA CTG AAA ATC AGC AGA GTG +1 E A E D L G V Y Y C W Q G T H L P W T F 1021 GAG GCT GAG GAT TTG GGA GTC TAT TAT TGC TGG CAA GGT ACA CAT CTT CCG TGG ACA TTC +1 G G G T K L E I K G G G S G G G S G 1081 GGT GGA GGG ACC AAG CTC GAG ATC AAA GGT GGT GGT TCT GGC GGC GGC TCC GGT +1 PvuII +1 G G G S Q V Q L Q Q S G P E L V K T G A 1141 GGT GGT GGT TCT CAG GTG CAG CTG CAG TCT GGA CCT GAG CTA GTG AAG ACT GGG GCT +1 EcoRV +1 S V K I C K G S G Y S F S G Y Y M H W 1201 TCA GTG AAG ATA TGT TGT AAG GGT TCT GGT TAC TCA TTC AGT GGT TAC TAC ATG CAC TGG +1 Ncol +1 V K Q S H G K R L E W I G Y I S G Y N G 1261 GTC AAG CAG A&gt;C CAT GGA AAG AGG CTT GAG TGG ATT GGA TAT ATT AGT GGT TAT AAT GGT +1 D T R Y N Q K F R G K A T F I V D I S S 1321 GAT ACT AGG TAT AAT CAG AAG TTC AGG GGC AAG GCC ACA TTT ATT GTA GAC ATA TCC TCC +1 R T A Y M Q L N S L T S E D S A V Y Y C 1381 AGG ACA GCC TAC ATG CAG CTC AAC AGC CTG ACA TCT GAA GAC TCT GCG GTC TAT TAC TGT +1 BstEII +1 A R G G Y Y G Y V D Y W G Q G T T V T V 1441 GCA A&gt;G GGG GGT TAC TAC GGC TAC GTG GAC TAC TGG GGC CAA GGG ACC ACG GTC ACC GTC +1 BspEI +1 S S G 1501 TCC TCC GGA CGC TCC CGA CTC AAG CGC CCG TGC CAC ACA GCC GCA AGA TCT GGC GCC GTG +1 SalI +1 XbaI +1 HinclI +1 KpnI 1561 TGG TCA GTC GAC CTC GAG GGG GGG CCC GGT ACC CAG CTT TTG TTC CCT TTA GTG AGG GTT </pre>
--

Appendix I

7.2 Sequence of the pBullet- κ -HA-scWue1 expression cassette

Sequence of the scWue1 TCR expression cassette κ -HA-scWue1-Fc-CD28-CD3 ζ as it was cloned into pBullet. The sequence of pBullet- κ -scWue1 lacks the HA-tag. Relevant restriction sites are underlined and indicated by name. **CAPITAL letters, bold print**: κ -leader; ***bold print, italic***: HA-tag; **CAPITAL letters, italic**: Wue-1 single chain; ***bold print***: Fc-CD28-CD3 ζ transmembrane signalling domain.

NcoI

CCATGGATTTCAGGTGCAGATTTCAGCTCCTGCTAATCAGTGCCTCAGTCATAATGTCTAGAtatccatatgtatgttcca
gattatgctCAGCTGACCCAGTCTCCACTCACTTGTCGGTTACCATTGGACAACCAGCCTCCCTCTCTTGCAAGTCAGTC
GAGCCTCTTAGATAGTGATGGAAAGACATATTGAATTGGTGTACAGAGGCCAGGCCAGTCTCAAAGCGCTAACATCTCTC
TGGTGTCTAAATTGGACTCTGGAGTCCCTGACAGATTCACTGGCAGTGGATCAGGGACAGATTCACACTGAAAATCAGCAGA

XbaI

GTGGAGGCTGAGGATTGGGAGTCTATTATTGCTGGCAAGGTACACATCTTCCGTGGACATTGGTGGAGGGACCAAGCTCGA
GATCAAAGGTGGTGGTGGTCTGGCGGCGGCTCCGGTGGTGGTCTCAGGTGCACTGCAGCAGTCTGGACCTGAGC
TAGTGAAGACTGGGGCTCAGTGAAGATATCTTGTAAAGGTTCTGGTTACTCATTCACTGGTAACTACATGCACTGGTCAAG

NcoI

CAGAGCCATGGAAAGAGGCTTGAGTGGATTGGATATATTAGTGGTTATAATGGTGA~~T~~ACTAGGTATAATCAGAAGTTCAGGGG
CAAGGCCACATTATTGTAGACATATCCTCCAGGACAGCCTACATGCAGCTAACAGCCTGACATCTGAAGACTCTGGGTCT

BamHI

ATTACTGTGCAAGAGGGGTTACTACGGCTACGTGGACTACTGGGCAAGGGACCACGGTCACCGTCTCCGCGGATCCcgcc
gagcccaatctcctgacaaaactcacacatgcccacgtgcccacgtcacatgcgtgggtggacgtgagccacgaagacc
ccccccaaaacccaaggacaccctcatgatctccggacccctgaggtcacatgcgtgggtggacgtgagccacgaagacc
ctgaggtcaagttcaacttgtacgttgacggcgtggaggtgcataatgcaagacaagccgcggaggagcagtaacacagc
acgtaccgggtgtcagcgtcctaccgtctgcaccaggactggctgaatggcaaggagtacaagtgcacagtctccaacaa
agccctccagccccatcgagaaaaccatctcaaagccaaagggcagccccgagaaccacaggtgtacaccctgccccat
ccgggatgagctgaccaagaaccaggtcagcgtgacctgctggtcaaaggcttatcccagcgacatcgccgtggagtt
gagacaatggcagccggagaacaactacaagaccacgcctccgtgctggactccgcacggctcccttcctacagcaa
gctcaccgtggacaagagcaggcggcagcagggaaacgtcttctcatgctccgtatgcgtgatgcacgaggctctgcacaaccactaca
cgcagaagagccctccctgtctccggtaaaaaagatccaaattttgggtgtgggtgggtggagtcctggcttc
tatagctgcttagtaacagtggcatttattatctgggtgaggagtaagaggagcaggctctgcacagtgactacatgaa
catgactcccccgcgccccggccacccgcaagcattaccagccctatgccccccacgcgacttcgcacgcctatgcgtccc
tgagagtgaagttcagcaggagcgcagacgcggccgcgtaccagcagggccagaaccagctatataacgcgtcaatctgaa
cgaagagaggatcgtttggacaagagacgtggccgggaccctgagatggggggaaagccgagaagagaaccctca
ggaaggcctgtacaatgaactgcagaaagataagatggcggaggcctacagtgagattggatgaaaggcggagcgcggagggg
gcaagggcgcacatggccttaccagggtctcagtgccaccaaggacacccatcgcacgcgcctcacatgcaggccctgc

XbaI

cctcgctaattccgcag

7.3 Protein sequence of κ -HA-scWue1-Fc-CD28-CD3 ζ

Protein sequence of the WUE-1-specific TCR (i.e. κ -HA-scWue1-Fc-CD28-CD3 ζ) as expressed by pBullet- κ -HA-scWue1. The sequence of pBullet- κ -scWue1 lacks the HA-tag. **Bold print:** κ -leader; ***bold print, italic***: HA-tag; *italic*: Wue-1 single chain; ***bold print***: Fc-CD28-CD3 ζ transmembrane signalling domain.

MDFQVQIFSLLISASVIMSRYPDVDPYAQLTQSPLTLSVTIGQPASLSCKSSQSLLSDGKTYLNWLLQRPGQSPKRLLISL
VSKLDGSVPDRFTGSGSGTDFTLKISRVEAEDLGVYYCWQGTHLPWTFGGGTKLEIKGGGGSGGGSGGGGSQVQLQQSGPEL
VKTGASVKISCKGSGYSFSGYYMHWVKQSHGKRLEWIGYISGYNGDTRYNQKFRGKATFIVDISSRTAYMQLNSLTSEDSAVY
YCARGGYYGYVDYWGQGTTVTSADPAEKSPDKHTCPCPAPELLGGPSVFLFPKPKDLMISRTPEVTCVVVDVSHEDP
EVKFNWYVGVEVHNAKTPREEQYNSTYRVSVLTVLHQDWLNGKEYKCKVSNKALPAPIEKTISKAKGQPREPQVYTLPPS
RDELTKNQVSLTCLVKGFYPSDIAVEWESNGQPENNYKTTPPVLDSDGSFFLYSKLTVDKSRWQQGNVFSCSVMHEALHNHYT
QKSLSLSPGKKDPKFWVLVVVGGVLACYSSLTVAFIIFWVRSKRSRLLHSODYNMTPRRPGPTRKHYQPYAPPRDFAAYRSL
RVKFSRSADAPAYQQQNQLYNELNLRREEYDVLDKRRGRDPEMGKPRRKNPQEGLYNELOQDKMAEAYSEIGMKGERRG
KGHDGLYOGLSTATKTDYDALHMOALPP

7.4 Physical map of pBullet-607

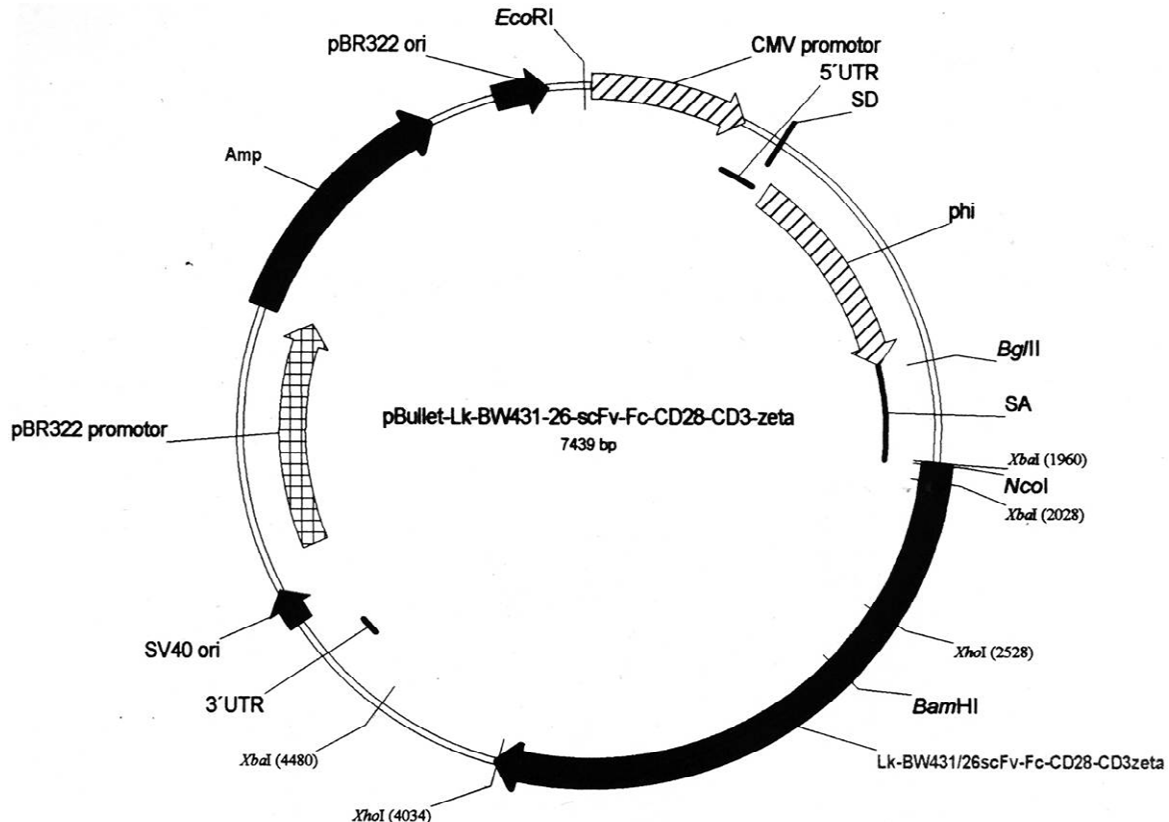


Figure 7.1: Physical map of pBullet-607. pBullet-607 is based on the Moloney murine leukaemia virus-derived retroviral expression vector pSTITCH. It contains the expression cassette for an anti-CEA (carcinoembryonic antigen) chimeric T-cell receptor (TCR). The extracellular moiety of the recombinant TCR is composed of a humanized single chain antibody fragment (scFv) derived from the anti-CEA mAB (BW431-26) and the CH2/CH3 constant domains of human IgG. Moreover, the receptor comprises the intracellular signalling moieties of CD28 and CD3 ζ . The vector was kindly provided by Prof. H. Abken, University of Cologne, Germany.

7.5 Sequence of the pBullet-607 expression cassette

Sequence of the CEA-specific TCR expression cassette BW431-26-scFv -Fc-CD28-CD3 ζ as it is present in pBullet-607. Relevant restriction sites are underlined and indicated by name.

CAPITAL LETTERS, bold print: κ -leader; *italic*: BW431-26-scFv; **bold print:** Fc-CD28-CD3 ζ transmembrane signalling domain.

```

NcoI
ccATGGATTTCAGGTGCAGATTTCAGCTTCCTGCTAATCAGTGCCTCAGTCATAATGTCTAGAggtgtccactcccaggtc
caactgcaggagtcaggtccaggtctgtgagacctagccaggaccctgaggcctgacctgcaccgtgtctggcttaccatcag
cagtggttatagctggactgggtgagacaggccacctggacgggtcttgaggtggattggatacatacagtacgtggatca
ctaactacaccccctctotcaaaagtagagtgacaatgtggagacaccagcaagaaccgttcagccctgagactcagcac
gtgacagccccgacacccggtcttattattgtcaagagaagactatgattaccactggtactccatgtctggggccaagg
gaccacggtcaccgtctctcaggaggtggatcggcgggtggcggatctgacatccagctgaccc
```

XbaI

```

agagcccaaggcagccctgagcgcccaggcgtggggtgacagaggtgaccatcaacctgtagtaccagctcgaggttaagttacatgcac
tgttaccagcagaaggccaggtaaggctccaaagctgctgatctacagcaccatccaaacctggcttctgggttggccaagcgatt
cagcggtagcggtacggtaccccactccaccatcagcccccagaggacatcgccacccactactgccatc
```

XbaI

```

BamHI
agtggagtagtttatccacgttcgggcaaggggaccaagggtggagatcaaaaggtggatcccgccagcccaattccctgacaaa
actcacacatgcccaccgtgcccagccacctgaactccttggggggaccgtcagtcttccctttccccaaaccccaaggac
cctcatgattcccggacccctgaggtcacatgcgtgggtgggacgtgagccacgaagaccctgaggtcagttcaactggt
acgtggacggcgtgggagggtgcataatgcaagacaaaagcccgggagggagcgatacaacagcacgtaccggtggtcagcgt
ctcaccgtcctgcaccaggactggctgaatggcaagggtacaagggtctccaaacccctcccagccccccatcga
gaaaaccattcccaaagccaaaggggcagcccgagaaccacagggttaaccctgccccccatccggatgagctgaccaaa
accaggtcaggctgacctgtggcaaagggtcttatccagcgacatcgccgtggaggtggagagcaatggcagcccggaa
aacaactacaagaccacgcccctccgtgtggactcccgacggctccttctcccttacaagcaagctaccgtggacaagagcag
gtggcagggggaaacgttttcatgtccgtatgcatgagggtctgcacaaccactaccgcaagagaccccttcccgt
ctccgggtaaaaagatccaaattttgggtctggtgttgggtggagtcctgggtctgtatagctttgtctagtaacagtgt
gccttatttttctggtgaggtaagaggacggcgggctctgcacagtgactacatgaacatgactccccccccccccgggg
gcccacccccaagcataccagccctatgccccccaccgcacttccgcaccctatcgccctccgaggttaagttcagcgaa
gcgcagacgcccccggtaccagcgaggccagaaccagctcttaaccgacgtcaatctaggacgaaagaggaggtacgttttt
ttggacaagagacgtggccggacccctgagatggggaaagccgagaagaaacccctcggagggccctgtacaatgaactg
gcagaaagataagatggccggaggccctacagtgagatgggatgaaaggcgagcgccggaggggcaagggggacgtggccttt
```

XbaI

```

accagggttcagtcagccaccaaggacccatcagcccctttccacatgcaggccctgcccccctcgcttaatcctcgagg
```

8 Appendix II

8.1 Abbreviations

α	<i>alpha</i>	DTSSP	dithiobis-sulfosuccinimidylpropionate
β	<i>beta</i>	DTT	dithiotreitol
δ	<i>delta</i>	E:T	effector:target cell ratio
ϵ	<i>epsilon</i>	ECL	enhanced chemiluminescence
γ	<i>gamma</i>	ECM	extra cellular matrix
κ	<i>kappa</i>	EDTA	ethylenediaminetetraacetic acid
λ	<i>lambda</i>	EGTA	ethylene glycol-bis(2-aminoethyl-ether)-tetraacetic acid
ρ	<i>rho</i>	ELISA	enzyme linked immunosorbent assay
ζ	<i>zeta</i>	EpCAM	epithelial cell adhesion molecule
μ	<i>micro</i>	EtBr	ethidium bromide
μM	<i>micromolar</i>	EtOH	ethanol
AA	<i>aminoacid</i>	F(ab')	antigen binding antibody fragment
AB	<i>antibody</i>	FACS	fluorescence activated cell sorting
ADCC	<i>antibody dependent cellular cytotoxicity</i>	Fc	constant domain antibody fragment
AG	<i>antigen</i>	FCS	fetal calf serum
AKV	<i>Antikörper Verdünnungspuffer</i>	FGFR-3	fibroblast growth factor receptor 3
APS	<i>ammonium persulfate</i>	FITC	fluorescein isothiocyanate
Bis-Tris	<i>Bis(2-hydroxyethyl)amino-tris(hydroxymethyl)methane</i>	FN	fibronectin
BiTE	<i>bispecific T-cell engager</i>	Fv	variable domain antibody fragment
Blimp-1	<i>B-lymphocyte-induced maturation protein 1</i>	fw	forward (primer)
BM	<i>bone marrow</i>	GaM-FITC	fluorescein isothiocyanate labelled goat anti-mouse antibody
BMSC	<i>bone marrow stromal cell</i>	GaM-PE	R-phycerythrin labelled goat anti-mouse antibody
bp	<i>base pairs</i>	GC	germinal center
BPB	<i>bromphenolblue</i>	G-CSF	granulocyte colony-stimulating factor
BSA	<i>bovine serum albumin</i>	GM-CSF	granulocyte-macrophage colony-stimulating factor
bsAB	<i>bispecific antibody</i>	GPI	glycosyl-phosphatidylinositol
BSF-3	<i>B cell stimulating factor 3</i>	HDAC	histone deacetylase
bssc-AB	<i>bispecific single-chain antibody</i>	HEPES	N-(2-hydroxyethyl)piperazine-N'-(2-ethanesulfonic acid)
CD	<i>clusters of differentiation</i>	HGF	hepatocyte growth factor
CDC	<i>complement dependent cytotoxicity</i>	HLA	human leukocyte antigen
cDNA	<i>complementary deoxyribonucleic acid</i>	HLA-DR	D-related human leukocyte antigen
cfu	<i>colony forming unit</i>	HMW	high molecular weight
CHO	<i>Chinese hamster ovarian cells</i>	HRP	horseradish peroxidase
cpm	<i>counts per minute</i>	HSCT	haematopoietic stem cell transplantation
CTL	<i>cytotoxic T-lymphocytes</i>	ICAM	intercellular adhesion molecule
DC	<i>dendritic cells</i>	Id	idiotype protein
DEPC	<i>diethylpyrocarbonate</i>	IEF	isoelectric focussing
DMEM	<i>Dulbecco's modified Eagle medium</i>	IFN	interferon
DMSO	<i>dimethylsulfoxide</i>	Ig	immunoglobulin
DNA	<i>deoxyribonucleic acid</i>	IGF	insulin-like growth factor
dNTP	<i>deoxyribo nucleotide</i>	IgH	immunoglobulin heavy chain
DSMZ	<i>"Deutsche Sammlung von Microorganismen und Zellkulturen"</i>		
DSS	<i>disuccinimidylsuberate</i>		

Abbreviations

IgL	immunoglobulin light chain	pM	picomolar
IL	interleukin	PMSF	phenylmethylsulfonylfluoride
IP	immunoprecipitation	PTEN	phosphatase and tensin homologue deleted on chromosome ten
JAK	janus kinase	PVDF	polyvinylidenefluoride
kb	kilo bases	RANKL	receptor activator of nuclear factor κ B ligand
kDa	kilo dalton	rev	reverse (primer)
LMW	low molecular weight	RIA	Radioimmunoassay
mAB	monoclonal antibody	RNA	ribonucleic acid
MALDI	matrix assisted laser desorption ionization	R-PE	R-phycoerythrin
MALT	mucosa-associated lymphoid tissue	RPMI	" Roswell Park Memorial Institute"
MBq	mega-Becquerel	RT	room temperature
mCi	milli-Curie	SBED	succinimidyl-biotinamido-p-azido benzamido-hexanoamido-ethyl-dithiopropionate
MCS	multiple cloning site	scAB	single-chain antibody
MeOH	methanol	SCF	stem cell factor
MES	4-morpholineethanesulfonic acid	scFv	single chain variable antibody domain
MGUS	monoclonal gammopathy of undetermined significance	SDF-1	stromal cell derived factor 1
MHC	major histocompatibility complex	SDS	sodium dodecyl sulfate
mM	milimolar	siRNA	small interfering RNA
MM	multiple myeloma	SN	supernatant
MOPS	4-morpholinepropanesulfonic acid	ssDNA	single strand deoxyribonucleic acid
MRD	minimal residual disease	STAT	signal transducer and activator of transcription
mRNA	messenger ribonucleic acid	TAA	tumour associated antigen
MS	mass spectrometry	TCA	trichloroacetic acid
MW	molecular weight	TCR	T-cell receptor
MWCO	molecular weight cut-off	TEMED	tetramethylethylenediamine
MZ	marginal zone	TF	Thomsen-Friedenreich antigen
NB	Northern blot	TGF-β	transforming growth factor β
NFKB	nuclear factor κ B	TK	tyrosine kinase
NHS	N-hydroxysuccinimid	TNF	tumour necrosis factor
NK	natural killer	TRAIL	tumour necrosis factor -α related apoptosis inducing ligand
nM	nanomolar	Tris-HCl	Tris-(hydroxymethyl)-aminomethanhydrochlorid
ntc	no template control	U	Unit
o/n	over night	V(D)J	variable-, (diversity-), joining-region gene segments
OCs	osteoclasts	VCAM	vascular cellular adhesion molecule
OPD	o-phenylenediamine	VEGF	vascular endothelial growth factor
PAA	polyacrylamid	V _H	variable region of the immunoglobulin heavy chain
PAGE	polyacrylamid gelectrophoresis	V _L	variable region of the immunoglobulin light chain
PBL	peripheral blood lymphocyte	VLA	very late antigen
PBMC	peripheral blood mononuclear cells	WB	western blot
PBS	phosphate buffered saline	Wue-1	"Wuerzburg-1" antibody
PC	plasma cell	XBP-1	X-box binding protein-1
PCL	plasma cell leukaemia		
PCR	polymerase chain reaction		
PEG	polyethylene glycol		
pfu	plaque-forming units		
PI	propidium iodide		
PI3K	phosphatidylinositol 3-kinase		
PI-PCL	phosphatidylinositol specific phospholipase C		

8.2 Zusammenfassung

Das Multiple Myelom (MM) ist ein klonaler B-Zell Tumor der differenzierten, langsam proliferierenden Plasmazelle, der hauptsächlich im Knochenmark lokalisiert ist. Das MM ist eine bislang unheilbare Erkrankung, mit einer mittleren Überlebensrate von 3-5 Jahren und ist verantwortlich für ca. ein Prozent aller krebsassoziierten Todesfälle in der Westlichen Welt. Die molekularen Ursachen, die dieser Krankheit zugrunde liegen sind jedoch noch nicht geklärt. Die Entwicklung immuntherapeutischer Strategien, im Besonderen von rekombinanten bispezifischen "single-chain" (bssc) Antikörpern, die außergewöhnliche biologische Eigenschaften besitzen welche sie von konventionellen Antikörpern unterscheiden, spielt daher eine wichtige Rolle in der Behandlung des MM. Die Entwicklung Antikörper basierender Therapieformen für die Behandlung des Multiplen Myeloms wird jedoch dadurch behindert, dass man bis dato keine geeigneten Plasmazell-spezifischen Oberflächenantigene kennt.

Um neue, Plasmazell-spezifische Antikörper für dieses Projekt zu identifizieren wurden Hybridom-Überstände (generiert von Dr. Axel Greiner, Universität Würzburg) mittels Durchflußzytometrie mit einer Reihe von humanen MM, Plasmazell-Leukaemie, und B-Zell-Lymphom Zelllinien untersucht. Drei Überstände zeigten ein positives Ergebnis mit der humanen MM Zelllinie RPMI-8226. Die in den Überständen enthaltenen Immunglobuline wurden als dem IgM-κ Subtyp angehörend identifiziert. Western Blot (WB) Analyse identifizierte eine starke Bande von ca. 25kDa (genannt "MUE-1"). Auf einem zweidimensionalen (2D) Western blot von RPMI-8226 Membranproteinen konnte ein einzelner Spot identifiziert, und mittels MALDI/MS analysiert werden. Analyse der Peptidsequenz und Datenbank Abgleich ergaben jedoch, dass es sich bei dem angeblichen Plasmazell-spezifischen Antigen MUE-1 um λ-Leichte Kette handelte.

Kürzlich wurde ein neuer monoklonaler Antikörper generiert, genannt "anti-Wue-1", der spezifisch an die Zelloberfläche von normalen und malignen humanen Plasmazellen bindet. Auf Basis dieses monoklonalen anti-Wue-1 Antikörpers konnte ein neuer, gegen MM Zellen gerichteter rekombinanter bssc Antikörper hergestellt werden, genannt "bssc anti-Wue-1xCD3". In einem Teilprojekt dieser Doktorarbeit wurden die biologischen Eigenschaften dieses neuen Konstruktes mittels der MM Zelllinie NCI-H929, oder primärer Myelom Zellen aus dem Knochenmark von Patienten, und mit autologen oder allogenen Effektor T-Zellen untersucht. In 10 von 11 Fällen konnte gezeigt werden, dass bssc anti-Wue-1xCD3 effizient

den T-Zell vermittelten Zelltod von NCI-H929 als auch von primären MM-Zellen induzieren kann. Im Gegensatz zu konventionellen bispezifischen Antikörpern ist bssc anti-Wue-1xCD3 auch bei geringen Effektor zu Target (E:T) Verhältnissen wirksam und es ist keine zusätzliche T-Zell Stimulation nötig.

Der Hauptteil dieser Doktorarbeit beschäftigte sich mit der Identifizierung, Klonierung und funktionellen Charakterisierung des WUE-1 Antigens. Zuerst wurden WUE-1 positive Zelllinien mittels Durchflußzytometrie identifiziert. Die weitere Charakterisierung des Antigens mit biochemischen Standard Methoden wie WB oder Immunpräzipitation (IP) schlug jedoch fehl. Daher wurde versucht das Antigen mit Hilfe von Expressionsklonierung und Immunselektion monoklonalem anti-Wue-1 Antikörper aus einer cDNA Expressionsbibliothek zu isolieren. Die isolierten Klone wurden sequenziert und mittels Northern Blot und Durchflußzytometrie analysiert. Es stellte sich jedoch heraus, dass alle Klone unspezifische DNA Fragmente trugen.

Da die Effizienz des "single-chain" (sc) anti-Wue-1 Antikörpers und seine Vorteile gegenüber dem monoklonalen anti-Wue-1 bereits erfolgreich demonstriert werden konnten wurde beschlossen einen rekombinanten chimären T-Zell Rezeptor (TCR) zu generieren, bestehend aus der sc anti-Wue-1 Antikörper Domäne, einer humanen IgG Fc Sequenz, dem transmembranen Teil von CD28 und der intrazellulären CD3 ζ Signaldomäne. In einem modifizierten Immunselektions-Assay wurde eine MM cDNA Expressionsbibliothek mittels anti-Wue-1 TCR exprimierenden Effektor (Jurkat) Zellen untersucht, und über einen Interferon (IFN) γ ELISA analysiert. Die Expression des anti-Wue-1 TCR auf den Jurkat Zellen konnte erfolgreich demonstriert werden, indem die IFN- γ Ausschüttung durch Zugabe von Fc-spezifischem, anti-humanem IgG aktiviert wurde. Es konnte jedoch kein IFN- γ in den Co-Kulturen von transfizierten Jurkat Effektor Zellen und WUE-1 $^{+}$ Target Zellen (NCI-H929, ARH77) nachgewiesen werden.

Obwohl die molekulare Struktur des WUE-1 Antigens weiterhin nicht aufgeklärt ist, konnte doch gezeigt werden, dass das Expressionsprofil und seine biochemischen Eigenschaften dieses Antigen von allen bisher beschriebenen Plasmazell-Antigenen unterscheidet. Weiterhin wurde demonstriert, dass bssc anti-Wue-1xCD3 bei geringem E:T Verhältnis und ohne zusätzliche T-Zell Stimulierung effizient den T-Zell vermittelten Zelltod auslöst. WUE-1 ist daher ein viel versprechender Ausgangspunkt für die Entwicklung neuer immuntherapeutischer Ansätze zur Behandlung des Multiplen Myeloms.

8.4 References

Dipl. Ing. Sabine Friedl

Max Delbrueck Centre for Molecular Medicine
Haematology, Oncology & Tumorimmunology
Robert Roessle Str. 10
13125 Berlin
Germany
Phone: +49-30-94063244
sabine.friedl@mdc-berlin.de

Prof. Petra Knaus

Free University of Berlin
Institute of Chemistry and Biochemistry
Thielallee 63
14195 Berlin
Germany
Phone: +49-30-838-52935
knaus@fu-berlin.de

Dr. rer. nat. Kurt Bommert

Dept. of Internal Medicine II
Division of Haematology and Oncology
University Clinics Würzburg
Klinikstr. 6-8
97070 Würzburg
Germany
Phone: +49-931-71220
kurt.bommert@mail.uni-wuerzburg.de

Priv. Doz. Dr. med. Ralf Bargou

Dept. of Internal Medicine II
Division of Haematology and Oncology
University Clinics Würzburg
Klinikstr. 6-8
97070 Würzburg
Germany
Phone: +49-931-201-70280
Bargou_R@klinik.uni-wuerzburg.de

8.5 Publications and Posters

Parts of this work were published in:

Honemann, D., Kufer, P., Rimpler, M. M., Chatterjee, M., **Friedl, S.**, Riecher, F., Bommert, K., Dörken, B. and Bargou, R. C., *A novel recombinant bispecific single-chain antibody, bscWue-1 x CD3, induces T-cell-mediated cytotoxicity towards human multiple myeloma cells*. Leukemia 2004. **18**: 636-644.

Parts of this work were presented as a poster:

Sabine Friedl, Dirk Hönemann, Matthäus Rimpler, Manik Chatterjee, Axel Greiner, Bernd Dörken, Ralf C. Bargou, and Kurt Bommert; *A Novel Recombinant Bispecific Single-Chain Antibody, Wue-1xCD3, Induces T-Cell Mediated Cytotoxicity Directed Against Autologous Primary Human Myeloma Cells*. Keystone Symposia “B-Cells and Antibodies: Laboratory to Clinic”, Keystone, Colorado, January 14-19, 2003

8.6 Declaration

I hereby certify that I have prepared the present work independently and by using exclusively the indicated resources.

Sabine Friedl

Berlin, June 2006